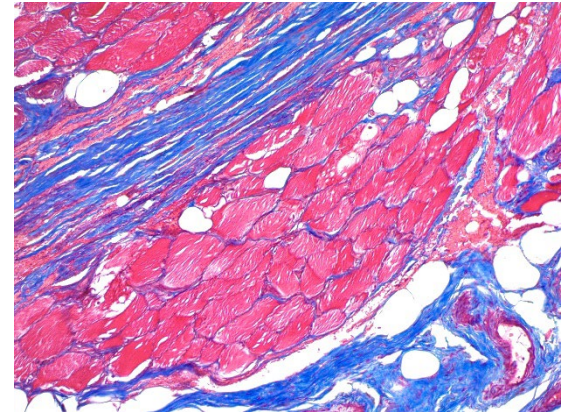


## Fluide de Bouin

**Description:** Le liquide de Bouin est un fixateur utile pour plusieurs procédures de routine. Il contient du formaldéhyde et de l'acide picrique pour la fixation cytoplasmique et chromatinienne et facilite une excellente coloration H&E. Il a également été recommandé pour toutes les procédures de fixation générales et peut être utilisé comme substitut du liquide de Zenker. Il est également utilisé comme étape de post-fixation qui est essentielle pour la coloration brillante démontrée avec les kits de coloration spéciaux Trichrome.

**Utilisations/Limites :** À ne pas prendre en interne.  
Pour un usage de diagnostic in vitro uniquement.  
Applications histologiques.  
Ne pas utiliser si le réactif devient trouble.  
N'utilisez pas de date d'expiration dépassée.  
Soyez prudent lors de la manipulation du réactif.  
Non stérile.

Disponibilité:	Article #	Volume
	BNF125	125 ml
	BNF500	500 ml
	BNF999	1000 ml



Démonstration de muscle et de collagène avec le kit de coloration trichrome de ScyTek (TRM-1). Le tissu a été post-fixé dans le liquide de Bouin (BNF).

*S'il vous plaît contacter (dans l'en-tête) pour les prix en gros ou OEM.*

**Stockage:** Conserver à température ambiante. Le produit est stable pendant 24 mois à compter de la date de fabrication.

**Précautions:** Évitez tout contact avec la peau et les yeux.  
Laver après utilisation.  
Respectez toutes les réglementations environnementales fédérales, étatiques et locales concernant l'élimination.

L'acide picrique est toxique, mais présente également un risque d'explosion lorsqu'il est séché dans certains environnements.

**Procédure:**

*Pour la coloration trichrome, veuillez consulter les kits de teinture trichrome de ScyTek (TRM-1, TRG-1) respectifs Mode d'emploi*

**Fixation générale :**

1. Coupez l'échantillon à la plus petite taille possible.

Stockage : 18° C  25° C

 Laboratoires ScyTek, Inc.  
205 Sud 600 Ouest  
Logan, Utah 84321  
435-755-9848  
États-Unis

  
Emergo Europe  
Prinsessegracht 20  
2514 AP La Haye, Pays-Bas

P.O. Box 3286 - Logan, Utah 84323, U.S.A. - Tél. (800) 729-8350 - Télécopieur (435) 755-0015 - [www.scytek.com](http://www.scytek.com)

2. Couvrez le tissu avec une quantité de liquide égale à 20 fois le volume de l'échantillon.
3. Les temps de fixation varient de 5 à 24 heures selon la taille de l'échantillon.
4. Le traitement avec 50-70% d'alcool, ou 70% d'alcool saturé de carbonate de lithium facilitera l'élimination de pigmentation jaune avant la coloration.

#### Références:

1. Lin YY, Hong Y, Yu SH, Wu XB, Shyu WC, chen JS, Ting H, Yang AL, Lee SD. Effets biogénétiques anti-apoptotiques et mitochondriaux de l'entraînement physique sur des cœurs de rats hypertendus ovariectomisés. *Journal de physiologie appliquée*. 18 avril 2019.
2. Feng, Wei, Tong Lei, Yue Wang, Run Feng, Juntao Yuan, Xiyue Shen, Yongguang Wu, Junling Gao, Wenjun Ding et Zhongbing Lu. « La carence en GCN2 améliore le dysfonctionnement cardiaque chez les souris diabétiques en réduisant la lipotoxicité et le stress oxydatif. » *Biologie et médecine des radicaux libres* 130 (1er janvier 2019) : 128-39. <https://doi.org/10.1016/j.freeradbiomed.2018.10.445>.
3. Kokubu D, Ooba R, Abe Y, Ishizaki H, Yoshida S, Asano A, Kashiwabara Si, Miyazaki H. Angelica keiskei (Ashitaba) et son composé fonctionnel xanthoangelol préviennent l'altération de la densité et de la qualité des spermatozoïdes induite par le stress thermique dans les testicules de souris. *Journal de la reproduction et du développement*. 2019:2018-141.
4. Wolfson, Benjamin, Pang-Kuo Lo, Yuan Yao, Linhao Li, Hongbing Wang et Qun Zhou. « Impact de la carence en MiR-140 sur la stéatose hépatique non alcoolique. » *Nutrition moléculaire et recherche alimentaire* 62, n° 13 (2018) : 1800189. <https://doi.org/10.1002/mnfr.201800189>.
5. Wu, Meng-Ju, Yu-Syuan Chen, Mi Ran Kim, Chao-Ching Chang, Silpa Gampala, Yingsheng Zhang, Yueyang Wang, Chih-Yu Chang, Jer-Yen Yang et Chun-Ju Chang. « La transition épithéliale-mésenchymateuse dirige la polarité des cellules souches via la régulation de la mitofusine. » *Métabolisme cellulaire* 29, n° 4 (2 avril 2019) : 993-1002.e6. <https://doi.org/10.1016/j.cmet.2018.11.004>.
6. Esendagli G, Yoyen-Ermis D, Guseinov E, Aras C, Aydin C, Uner A, Hamaloglu E, Karakoc D. Impact de la chirurgie abdominale répétée sur la cicatrisation des plaies et la dynamique des cellules myéloïdes. *Journal de recherche chirurgicale*. 1er mars 2018;223:188-97.
7. Yasuda, Yoshinori, Shintaro Iwama, Atsushi Kiyota, Hisakazu Izumida, Kohtaro Nakashima, Naoko Iwata, Yoshihiro Ito, et al. « Rôle critique de la rabphiline-3A dans la physiopathologie de la neurohypophysite lymphoïde expérimentale. » *Le Journal de pathologie* 244, n° 4 (2018) : 469-78. <https://doi.org/10.1002/path.5046>.
8. Chiu HW, Chen CH, Chen YJ, Hsu YH. L'infrarouge lointain supprime le photovieillessement de la peau chez les fibroblastes exposés aux ultraviolets B et les souris glabres. *PloS un*. 16 mars 2017 ; 12(3) :e0174042.
9. Zwaans, Bernadette M. M., Sarah Krueger, Sarah N. Bartolone, Michael B. Chancellor, Brian Marples et Laura E. Lamb. « Modélisation de la cystite chronique induite par les radiations chez la souris. » *Advances in Radiation Oncology* 1, n° 4 (1er octobre 2016) : 333-43. <https://doi.org/10.1016/j.adro.2016.07.004>.
10. Chen YF, Shibu MA, Fan MJ, Chen MC, Viswanadha VP, Lin YL, Lai CH, Lin KH, Ho TJ, Kuo WW, Huang CY. L'extrait d'anthocyane de riz violet protège la fonction cardiaque dans les cœurs de rats diabétiques induits par STZ en inhibant l'hypertrophie cardiaque et la fibrose. *Le Journal de biochimie nutritionnelle*. 1er mai 2016;31:98-105.
11. Silva JP, Dhall S, Garcia M, Chan A, Costa C, Gama M, Martins-Green M. Amélioration de la cicatrisation des brûlures par le peptide antimicrobien LLKKK18 libéré des conjugués avec de la dextrine incorporée dans un gel de carbopol. *Acta biomaterialia*. 15 octobre 2015;26:249-62.
12. Chen MC, Chang JP, Chang TH, Hsu SD, Huang HD, Ho WC, Wang FS, Hsiao CC, Liu WH. Démêlage des mécanismes de régulation du remodelage auriculaire des porcs à régurgitation mitrale par analyse du profil d'expression génique : rôle de l'antagoniste des récepteurs de l'angiotensine II de type I. *Recherche translationnelle*. 1er mai 2015 ; 165(5):599-620.
13. Kim HM, Lim YY, Kim MY, Son IP, Kim DH, Park SR, Seo SK, Lee MS, Mun SK, Kim CW, Kim BJ. Effet inhibiteur de la tianeptine sur l'induction catagène dans les lésions de type alopecie areata induites par le stress des ondes ultrasonores chez la souris. *Dermatologie clinique et expérimentale*. octobre 2013 ; 38(7):758-67.

Stockage : 18° C  25° C



Laboratoires ScyTek, Inc.  
205 Sud 600 Ouest  
Logan, Utah 84321  
435-755-9848  
États-Unis



EC REP

Emergo Europe  
Prinsessegracht 20  
2514 AP La Haye, Pays-Bas

P.O. Box 3286 - Logan, Utah 84323, U.S.A. - Tél. (800) 729-8350 - Télécopieur (435) 755-0015 - [www.scytek.com](http://www.scytek.com)

14. Petreaca ML, Do D, Dhall S, McLelland D, Serafino A, Lyubovitsky J, Schiller N, Martins-Green MM. La délétion d'un gène de la superfamille de la nécrose tumorale chez la souris conduit à une cicatrisation altérée qui imite les plaies chroniques chez l'homme. Réparation et régénération des plaies. mai 2012 ; 20(3):353-66.
15. Kato K, Ishimaru K, Sawada Y, Mutsuro J, Miyashita S, Murata O, Kumai H. Ontogenèse des organes du système digestif et immunitaire du méro de varech larvaire et juvénile *Epinephelus bruneus* élevé en laboratoire. Sciences halieutiques. 2004; 70(6):1061-9.

Stockage : 18° C



25° C



Laboratoires ScyTek, Inc.  
205 Sud 600 Ouest  
Logan, Utah 84321  
435-755-9848  
États-Unis



EC REP

Emergo Europe  
Prinsessegracht 20  
2514 AP La Haye, Pays-Bas